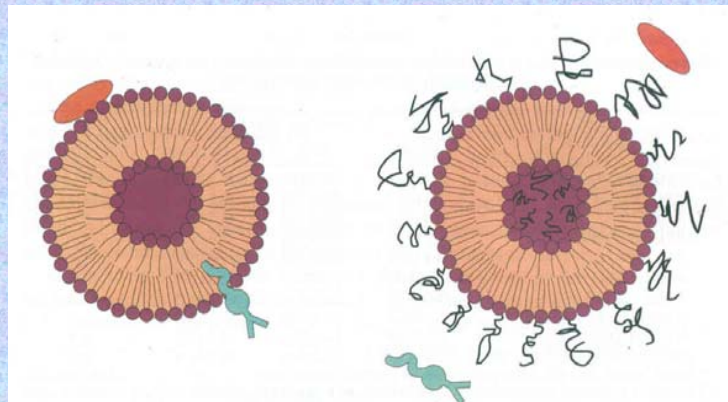


Liposzómák diagnosztikai és terápiás alkalmazásai I.

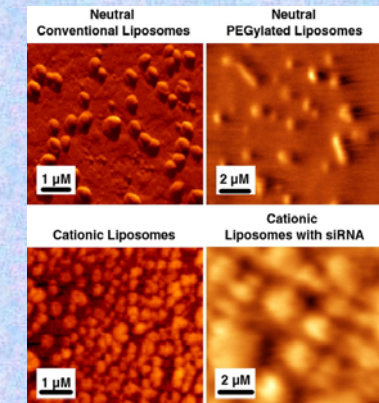
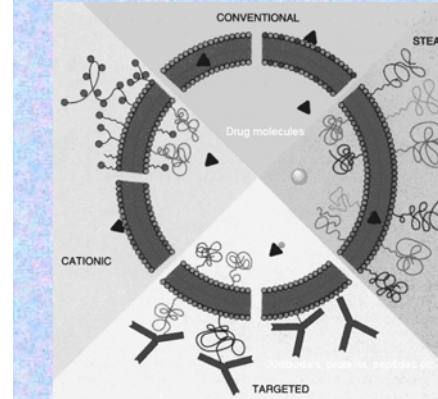
Dr. Voszka István

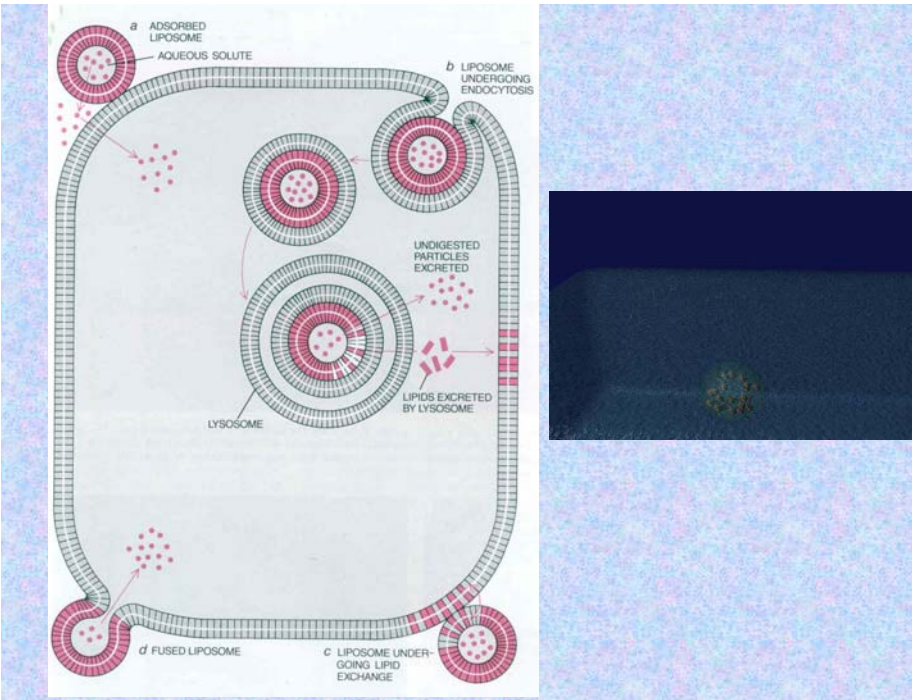
- Előny:**
- célzott bejuttatás
 - kevesebb mellékhatás
 - kisebb dózis elegendő

- máj, lép vizsgálata vagy kezelése közönséges (C) liposzómákkal
- RES (MPS) telítése „üres” liposzómákkal → utána más területek vizsgálhatók
- „stealth” (S) liposzómák az immunrendszeret jobban ki tudják kerülni
- speciális markerek, receptorok alkalmazása (immunliposzómák) → szervspecifikus célbajuttatás

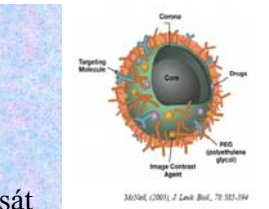


Liposzómák csoportosítása





Diagnosztikai alkalmazások: diagnosztikában használatos anyagokat zárnak a liposzómákba



1. Röntgen-kontrasztanyag

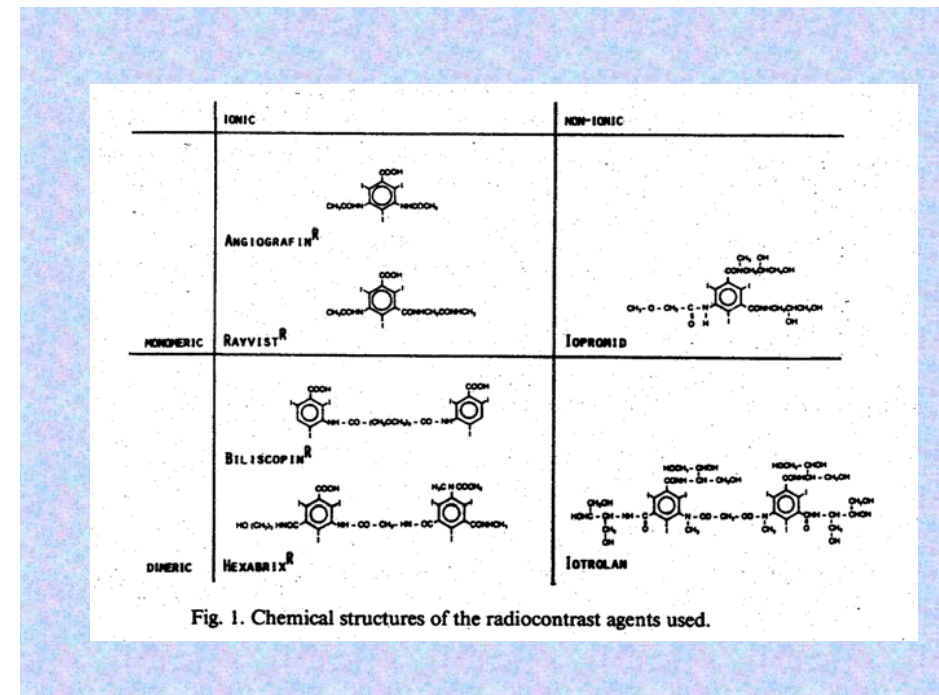
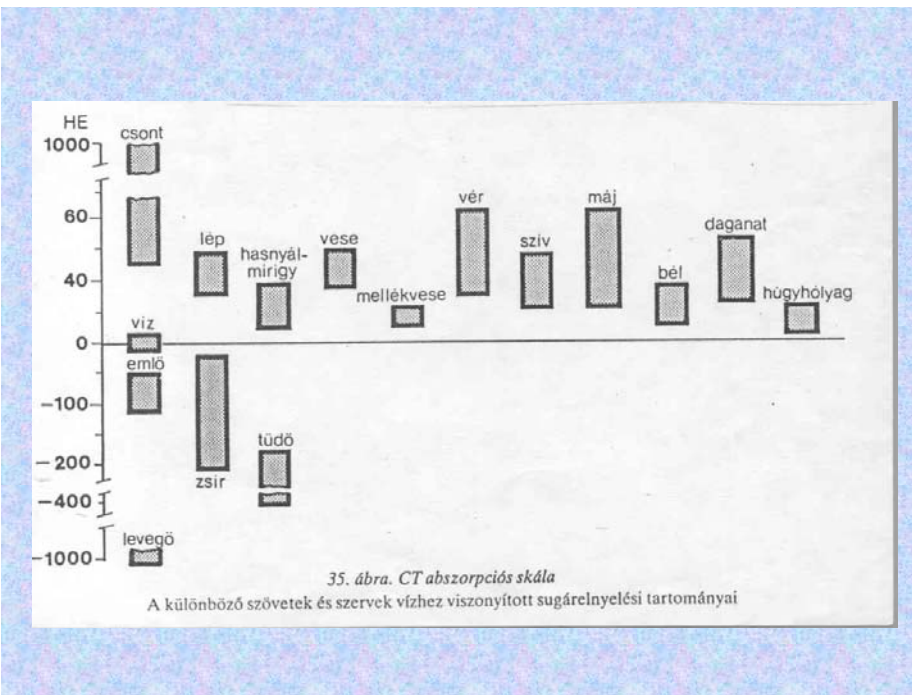
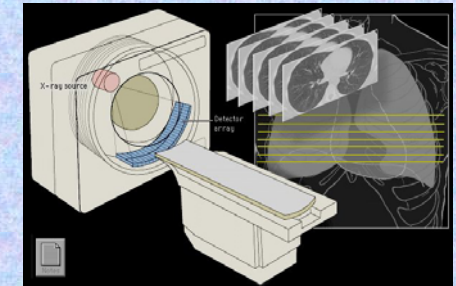
Pl. CT vizsgálatnál az egyes képelemek denzitását határozzák meg egy relatív skálán (Hounsfield-skála)

$$HE = \frac{\mu - \mu_{\text{víz}}}{\mu_{\text{víz}}} * 1000$$

A lágy szövetek relatív denzitása szűk tartományban van, ezért gyakran kontrasztanyag szükséges.

Liposzómában

- erősebb kontraszt
- hosszabb ideig



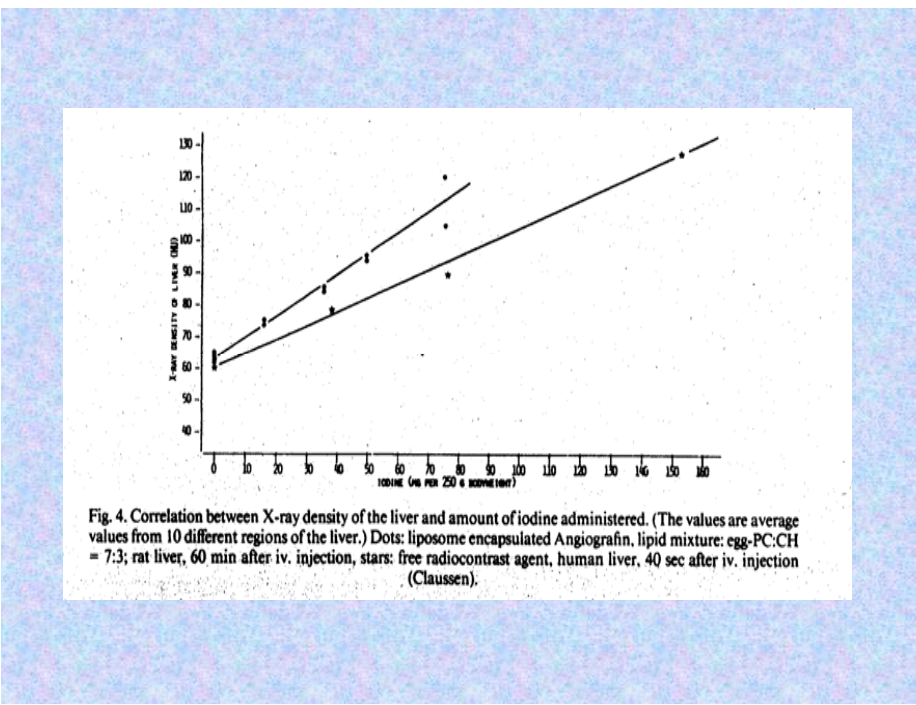
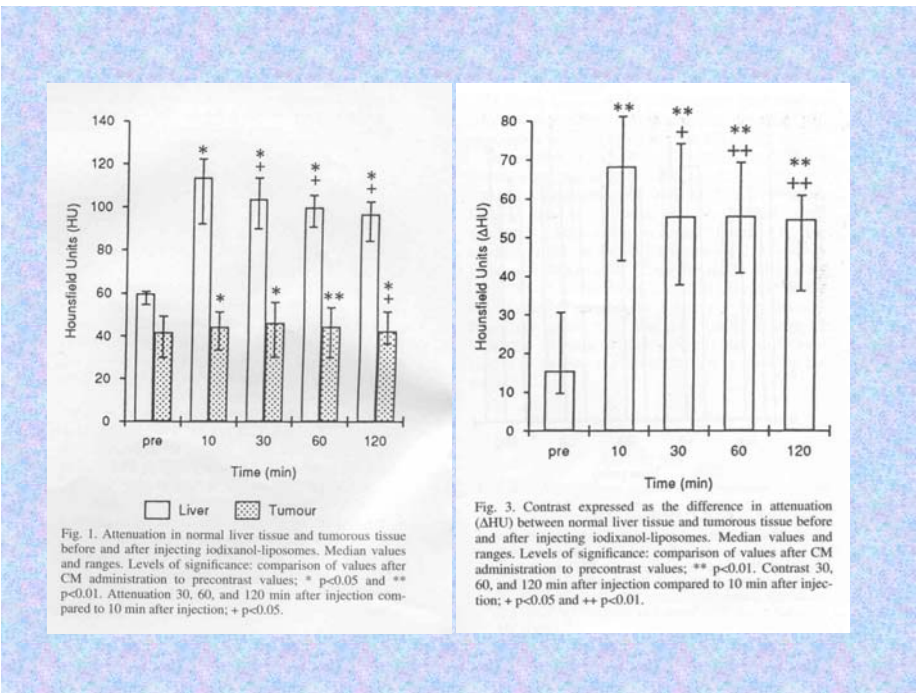
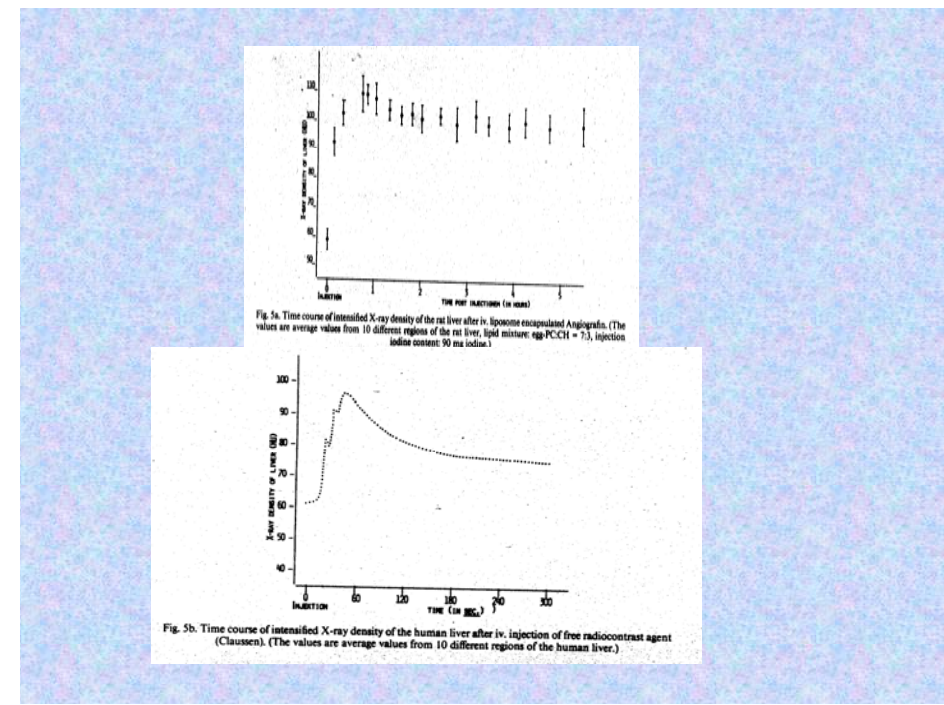
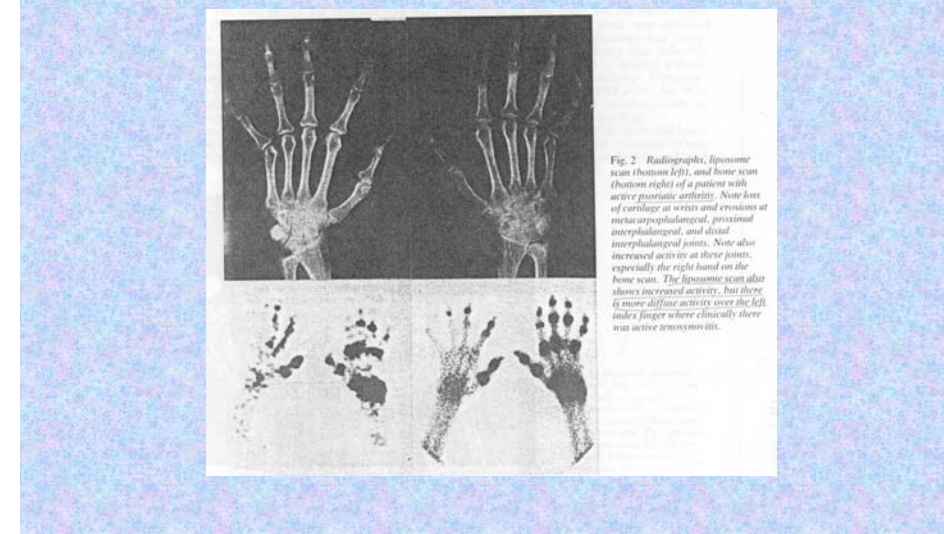


Fig. 4. Correlation between X-ray density of the liver and amount of iodine administered. (The values are average values from 10 different regions of the liver.) Dots: liposome encapsulated Angiografin, lipid mixture: egg-PC:CH = 7:3; rat liver, 60 min after iv. injection; stars: free radiocontrast agent, human liver, 40 sec after iv. injection (Claussen).



2. Radioaktív izotópek

- Liposzómába zárva specifikusabb kötődés,
pl. gyulladásos góchoz, tumorhoz



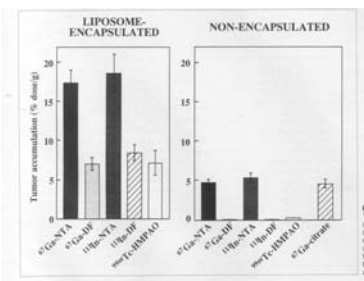


FIGURE 1. Tumor accumulation of ^{111}In and ^{99m}Tc in sarcoma 180-bearing mice 24 h after administration of liposome-encapsulated or non-encapsulated radionuclide-ligand complexes. Small open circles indicate the mean administered dose per mouse obtained from DTPG and CH molar ratio, 2:1. Bars indicate the mean \pm s.d. for five animals.

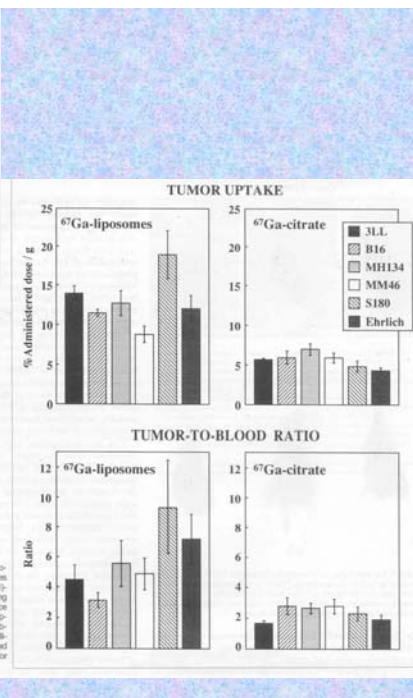


FIGURE 6. Tumor uptake and tumor-to-blood ratio of ^{67}Ga delivered by liposomes in various tumor models. DTPG/CH (2:1) was used unless otherwise indicated. Mice bearing ^{111}In -NTA were administered to mice bearing various tumors and the tumor uptake was measured at 24 h. The tumor uptake was also observed at 24 h after administration. Gallium-67 citrate was also administered similarly. Bars indicate the mean \pm s.d. for five to six animals.

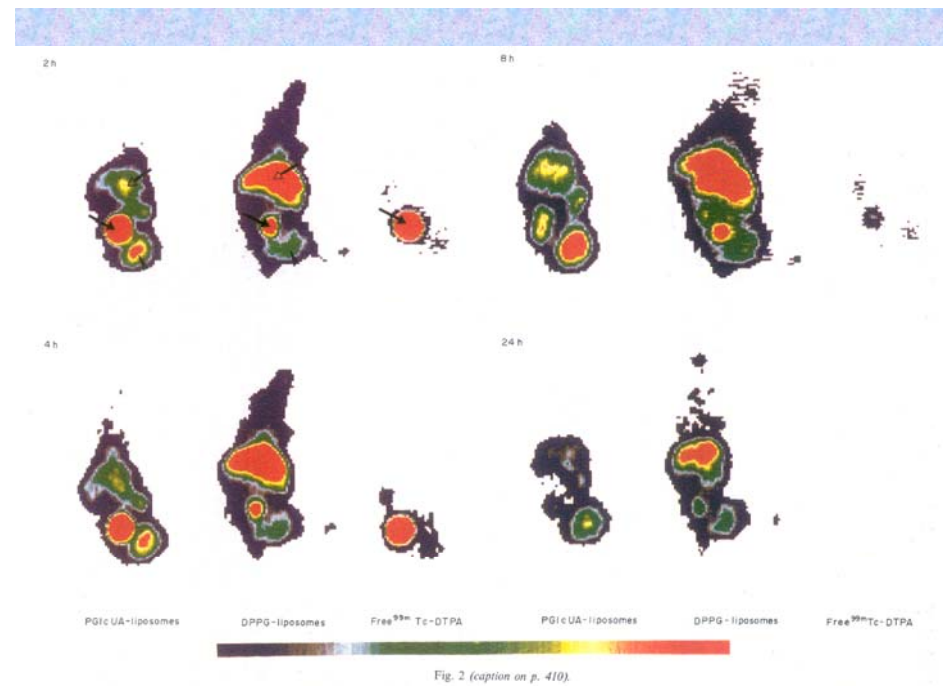
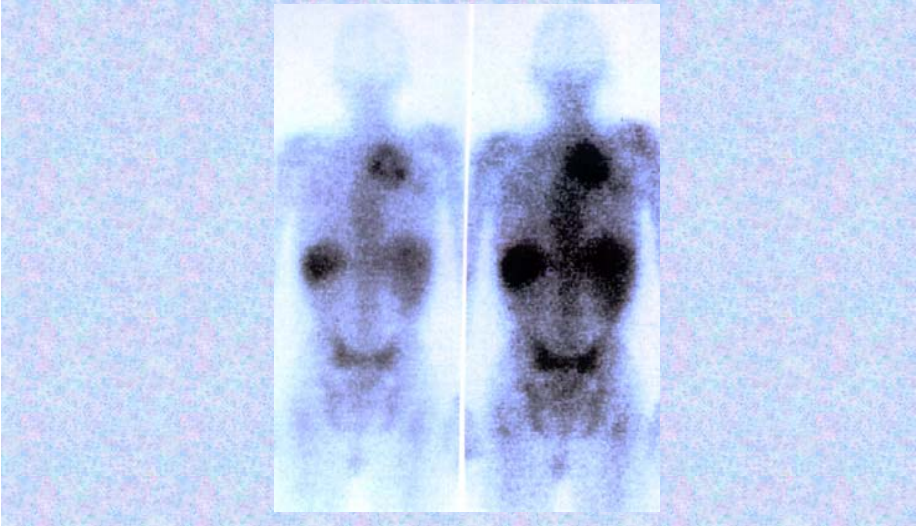
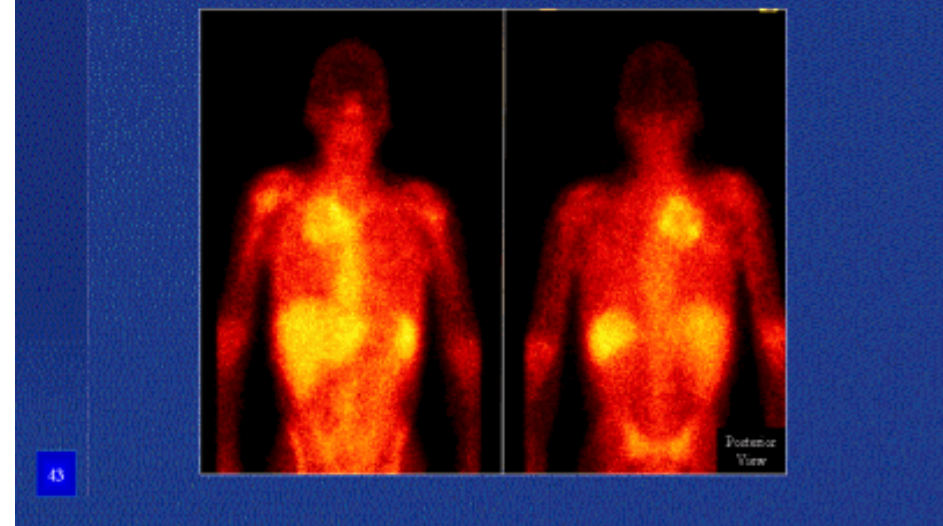


Fig. 2 (caption on p. 410).

Szintigram 24 ill. 48 órával az izotópot tartalmazó Stealth liposzóma beadása után (hátrólnézet)



Gamma Scintigram of Lung Cancer Patient 96 Hours after PEGylated Liposomes Containing ^{111}In -DTPA



- A vizsgálati idő lerövidíthető **biotin tartalmú** liposzómákkal
(avidinhez kötődnek → aggregátumok → a makrofágok bekebelezik)

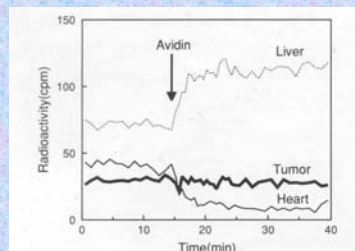
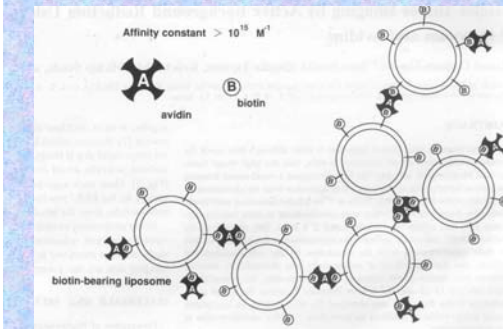
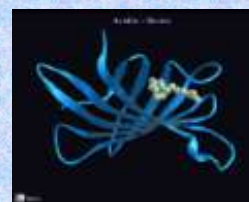
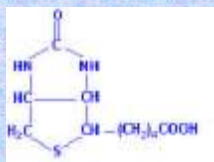


Fig. 7. Time-activity curves in the regions of interest over tumor, liver, and heart. Dynamic acquisition was started at 105 min after the administration of D-liposomes, and avidin was administered i.v. after an additional 15 min.

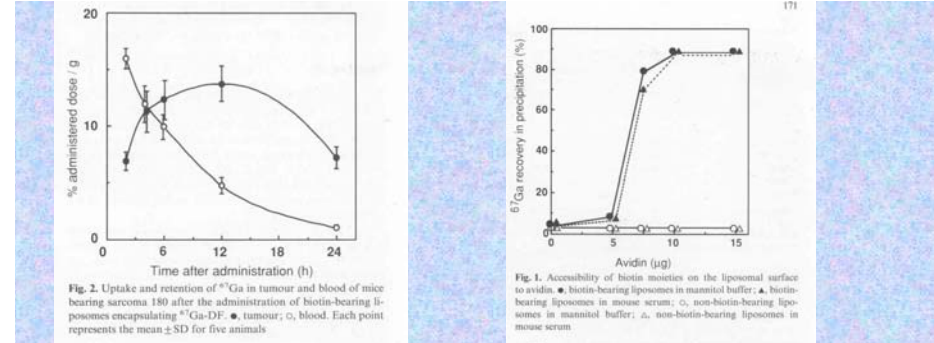


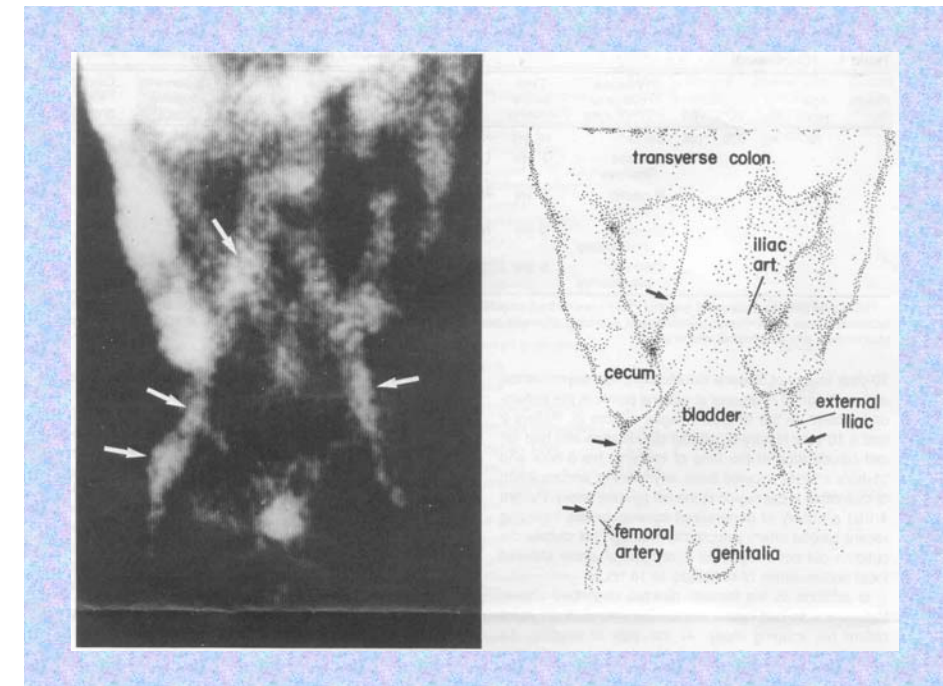
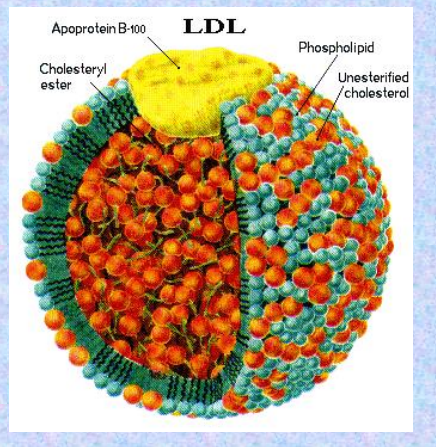
Fig. 2. Uptake and retention of ^{67}Ga in tumour and blood of mice bearing sarcoma 180 after the administration of biotin-bearing liposomes encapsulating ^{67}Ga -DF. ●, tumour; ○, blood. Each point represents the mean \pm SD for five animals

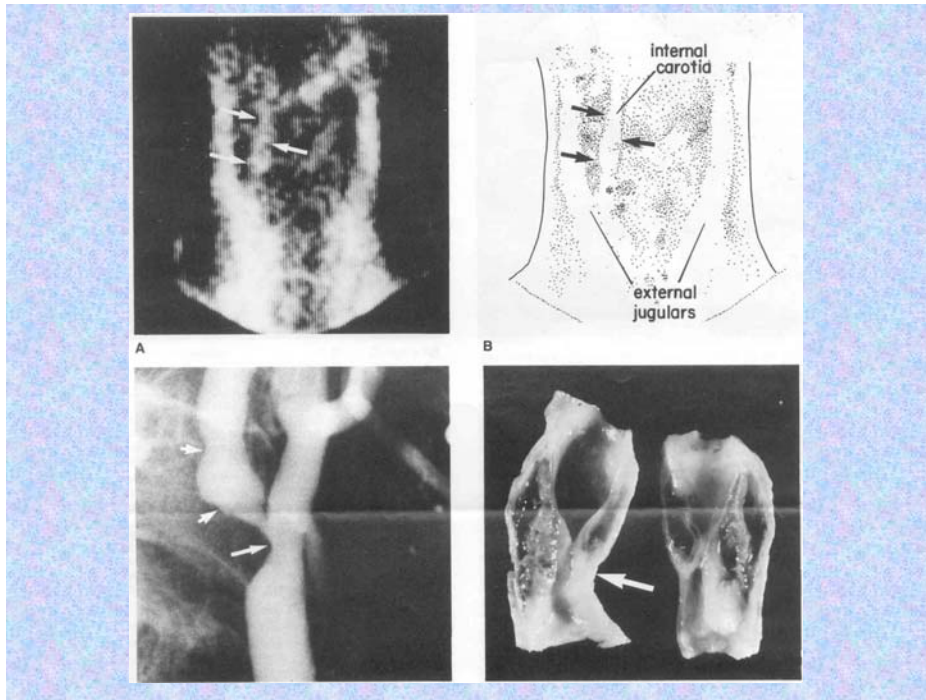
Tissue	% Administered dose/g tissue		
	Control	Avidin treated	
	10 µg	20 µg	30 µg
Tumour	12.06 \pm 1.57 (100)	12.51 \pm 1.73 (104)	11.03 \pm 1.56 (91)
Liver	7.82 \pm 1.14 (100)	14.15 \pm 2.21 (181)**	19.22 \pm 2.39 (246)**
Spleen	11.26 \pm 1.62 (100)	10.96 \pm 1.18 (97)	17.00 \pm 2.21 (151)**
Kidney	3.35 \pm 0.56 (100)	3.57 \pm 0.83 (107)	2.93 \pm 0.40 (88)
Blood	13.48 \pm 1.82 (100)	13.32 \pm 1.21 (98)	3.85 \pm 0.18 (28)**
Tumour/blood ratio	0.89	0.94	2.86

Each value represents the mean \pm SD for five animals
** Statistically significant difference from the control group at $P < 0.01$

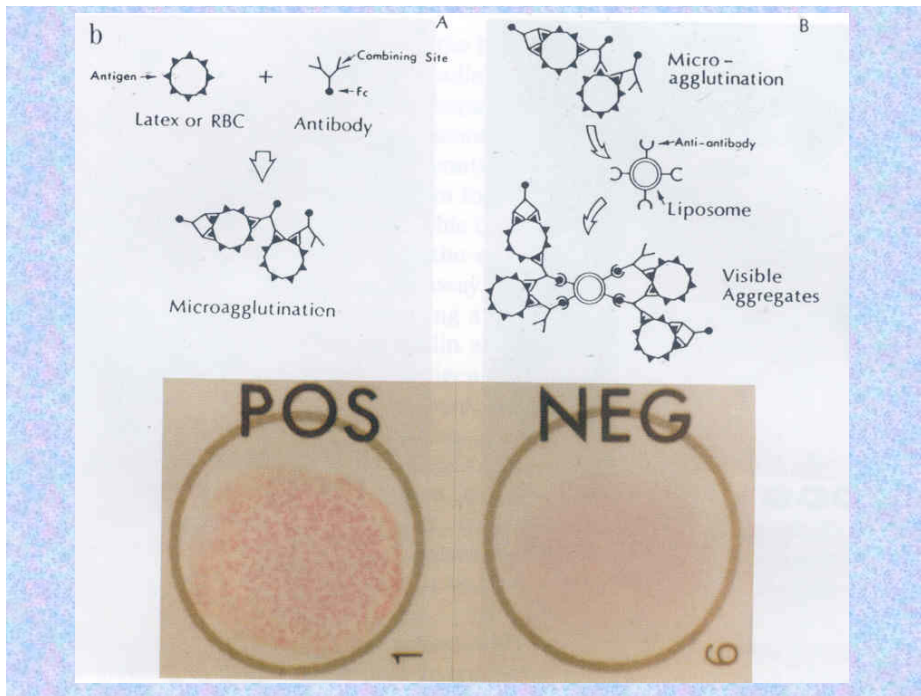
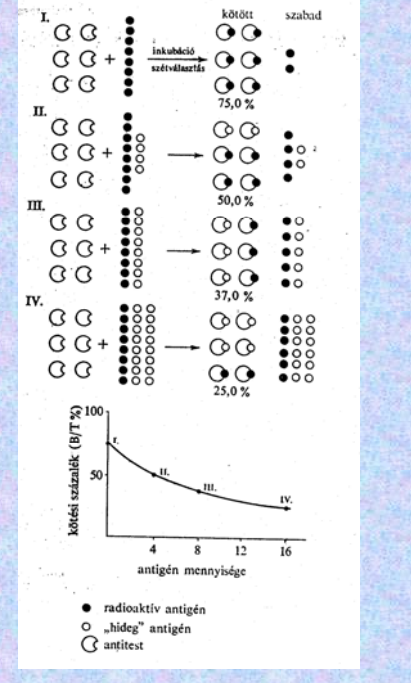
- **LDL** (low density lipoprotein – a koleszterin anyagcserében játszik szerepet; specifikus sejtfelszíni receptorhoz kötődik – immunliposzómához hasonló viselkedés) – pl. érelmeszesedéses gókok kimutatása

LDL összetevői	
Fehérje	22 %
Foszfolipid	22 %
Koleszterin	8 %
Koleszterinészter	40 %
Triglycerid	8 %



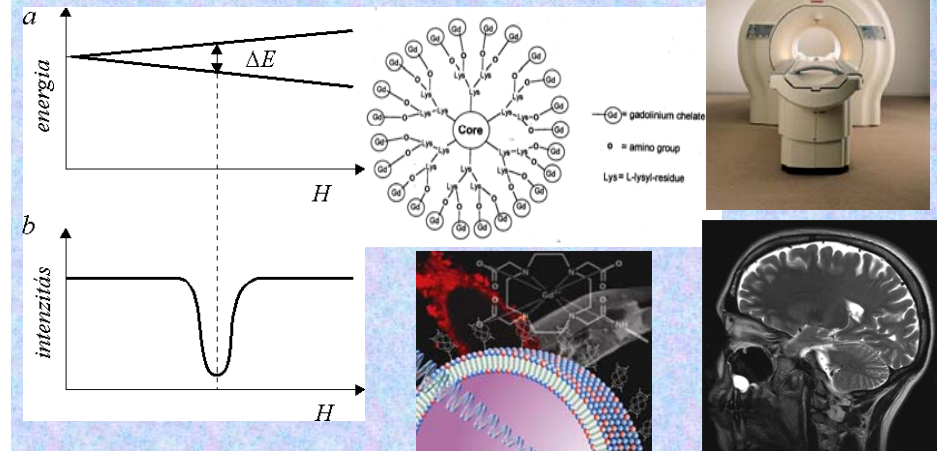


LIA (liposome immuno assay)
A liposzóma antigént tartalmaz és radioizotópot vagy fluoreszcens jelzőanyagot. Ismert mennyiségű antitest hozzáadása esetén az antigen koncentráció meghatározására alkalmas.

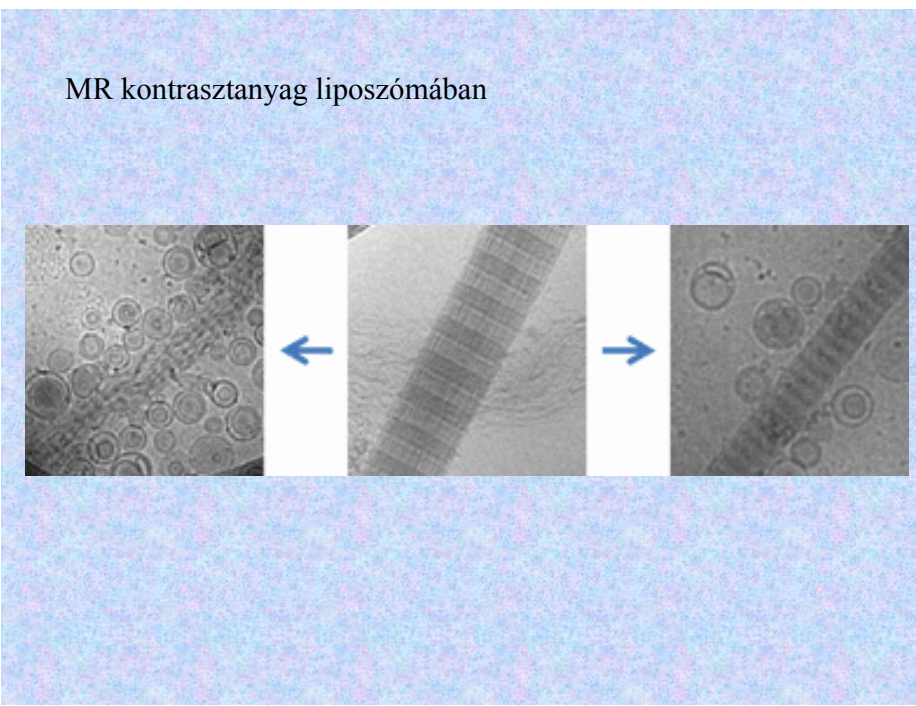


3. MR-kontrasztanyagok

Mágneses momentummal rendelkező atommagok mutathatók ki (pl. ^{1}H , ^{31}P)
Paramágneses anyagok (gadolínium, vas-oxid, mangán-tartalmú komplexek) használhatók kontrasztanyagként.
Liposzómába zárva specifikusabban juttathatók célba.

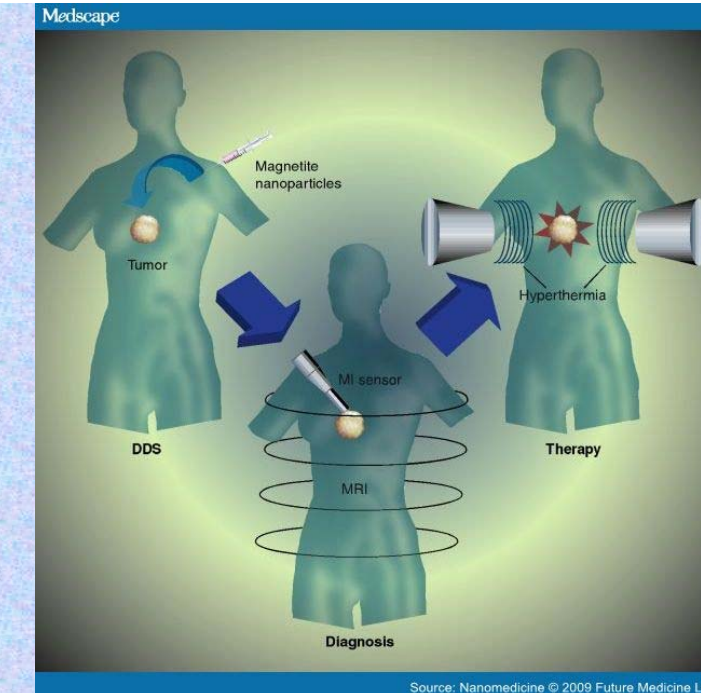
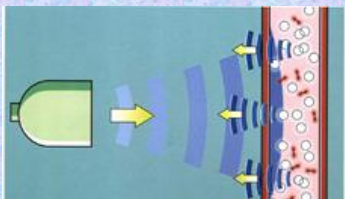


MR kontrasztanyag liposzómában



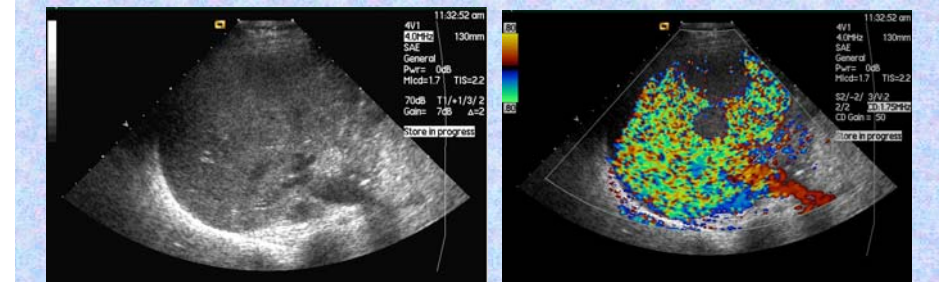
4. UH kontrasztanyagok

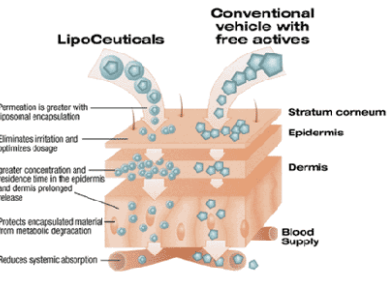
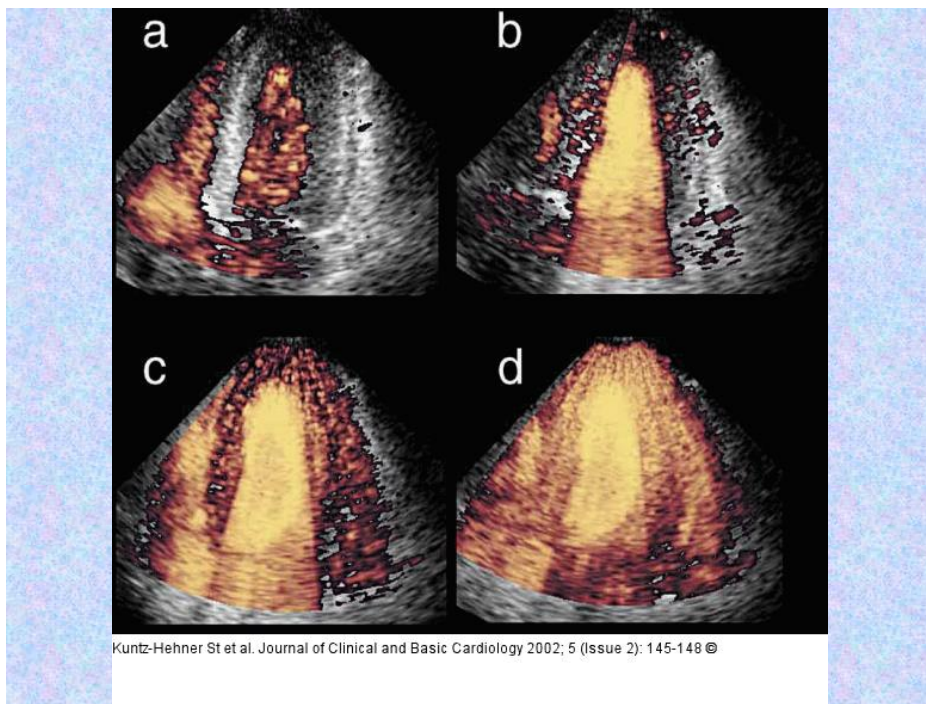
- Az ultrahangos képalkotás biztonságos, noninvazív eljárás
- A kép minőségét javítja a kontrasztanyag alkalmazása (pl. levegőbuborékok) - erős UH reflexió
- Liposzómába zárva a levegőt (mikrobuborék) a kontrasztthatás javítható
- pl. echocardiográfia: a szövet-vér határ jól elkülöníthető, az esetleges trombus kímutatható



Source: Nanomedicine © 2009 Future Medicine Ltd

- Máj, lép multifokális elváltozásainak kímutatásához jól használható (pl. daganatáttétek)





Terápiás alkalmazások

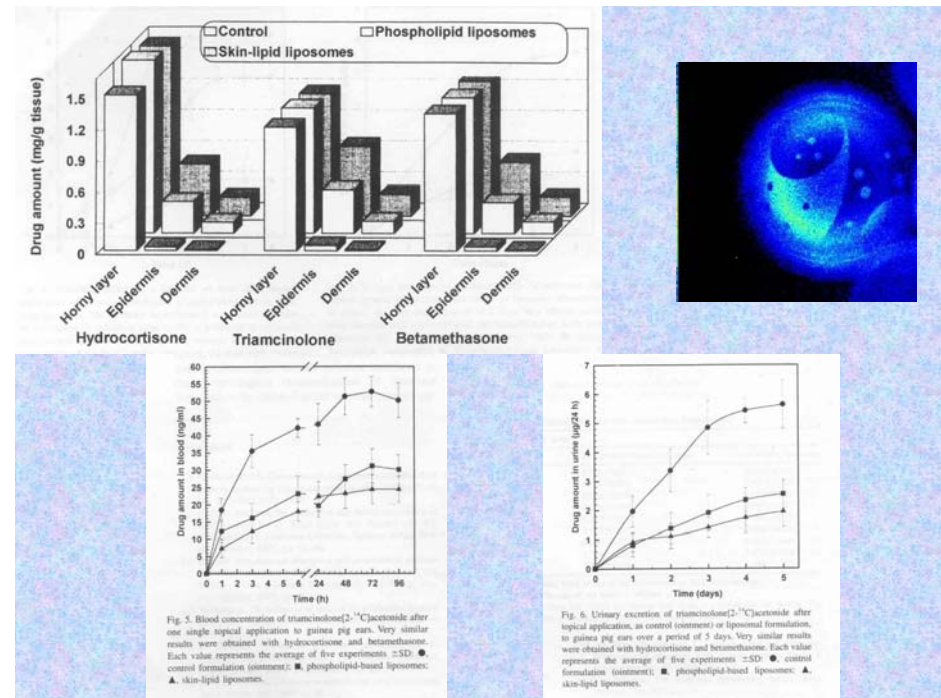
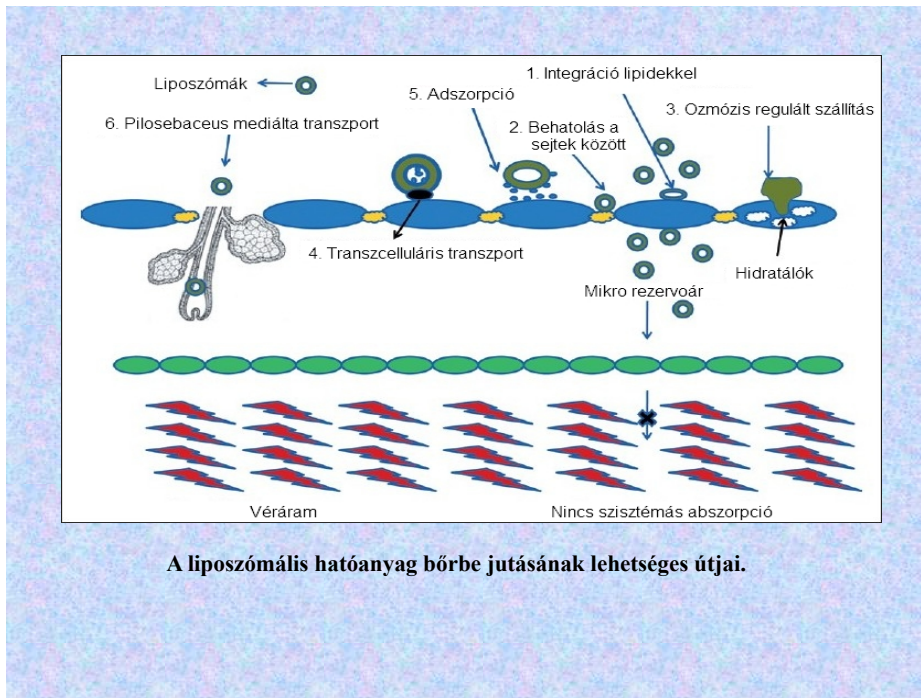
a) Lokális (helyi) alkalmazások

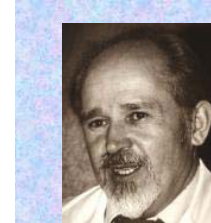
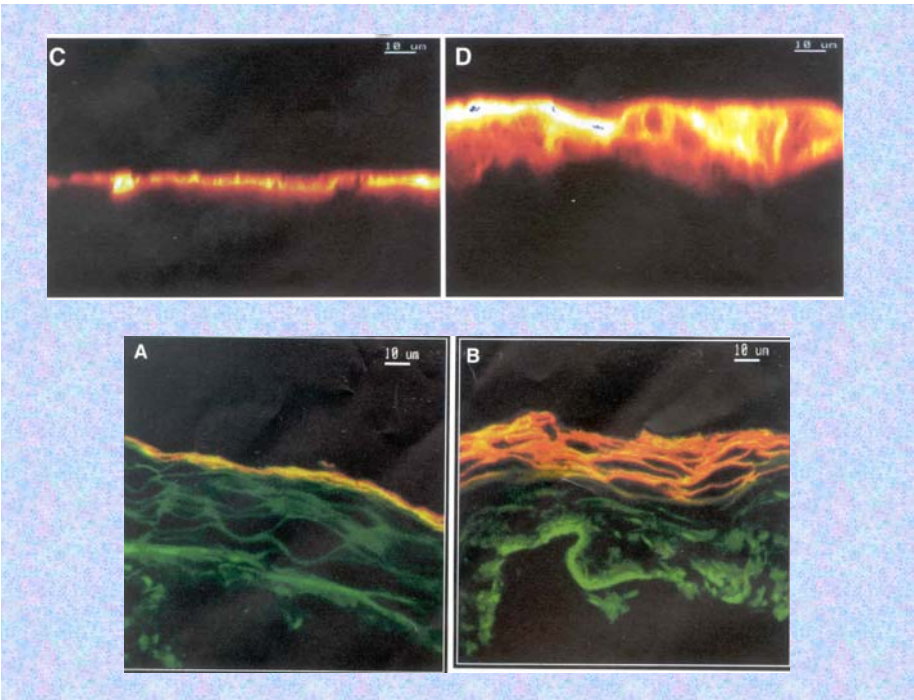
1.Bőrfelület

- Cél: - A gyógyszer jusson a bőr mélyebb rétegeibe
- Ne kerüljön a szisztemás keringésbe (mellékhatások elkerülése)

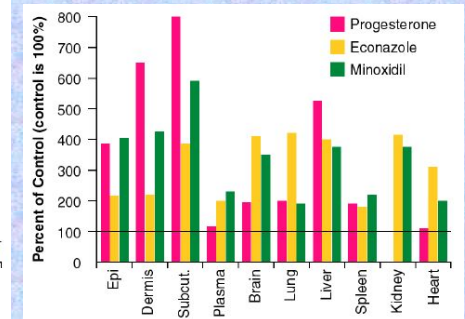
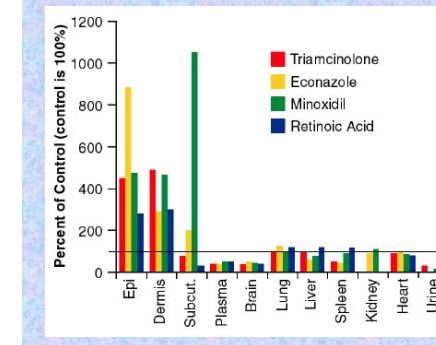
A liposzómák - könnyebben áthatolnak a bőr savköpenyén

- védi a hatóanyagot a lebontó enzimektől
- a nagy MLV-k alkalmazása célszerű – nem tud a szisztemás keringésbe jutni
pl. kortikoszteroidok, antibiotikumok, kozmetikumok zárhatók be.





Michael Mezei
1927-1997



Helyi érzéstelenítők
- Lidocaine
- liposzmás krém 4% hatóanyagtartalommal: elamax® illetve LMX4®



Kozmetika

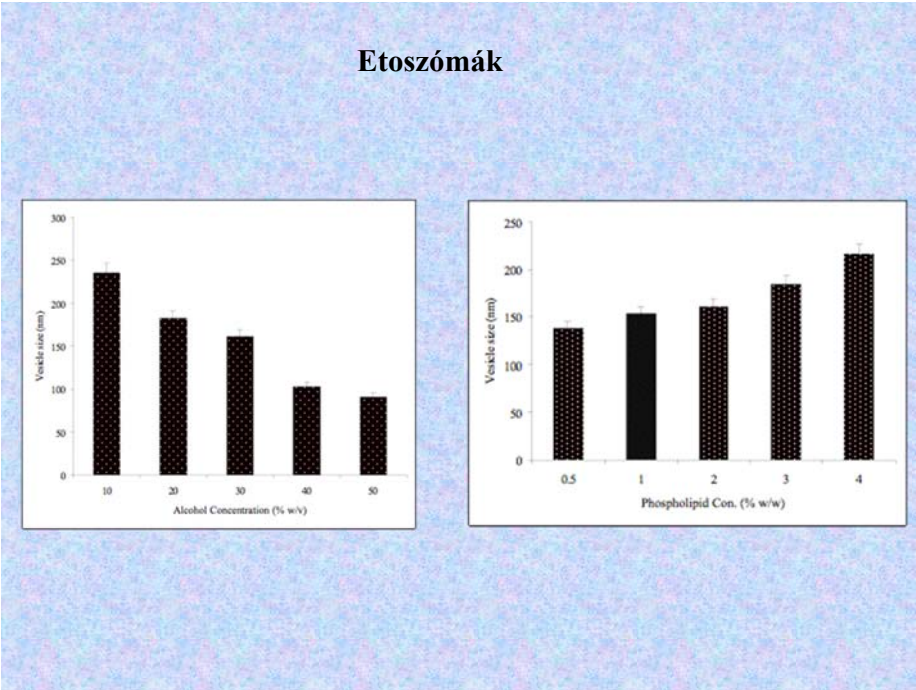
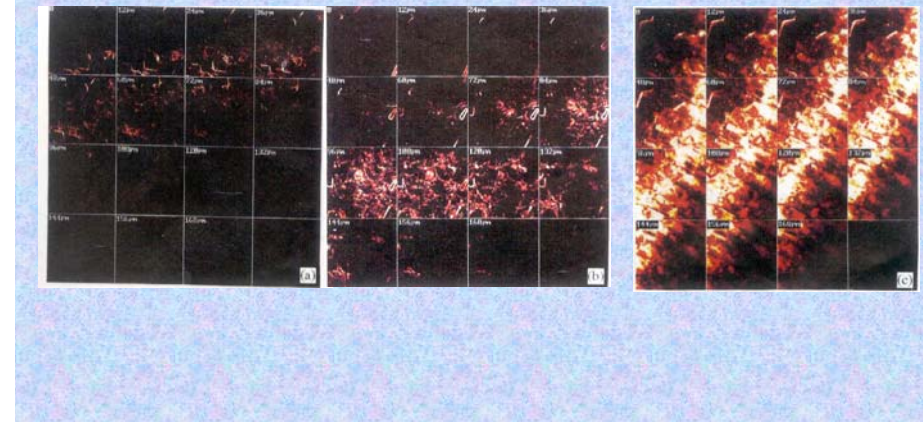




Some of the liposomal cosmetic products in Europe, the US and Japan.		
Product	Marketer	Liposomes and key ingredients
Capture Plénitude	Christian Dior	liposomes in gel with ingredients
Effect du Soleil Niosomes	L'Oréal	tanning agents in liposomes
Nactosomes	Lancôme (L'Oréal)	glyceropolyether with moisturizers
Espri de Soleil Formule Liposomes Gel	Lancôme (L'Oréal)	vitamins, retinolacetate
Fundamental Care Future Perfect Skin Gel	Payot (Ferdinand Muelhens)	non-ionic lipid
Emulsion Nrl Complexe Liposome FRE	Chanel	thymoxin, hyaluronic acid
Gel Lissant Contour des Yeux	Payot	liposome gel
Heliotrop Liposome Activ-Pflege	ElektroBio (Ernst Kunze GmbH)	TMF, vitamin A palmitate, vitamin E, cerebroside, ceramide, phospholipid
Intensive Reducer Anti-Cellulit Gel	Helena Rubinstein	Proteins, trace elem. minerals, vitamins
Inovita Kao Sofina Emoliel Cream & Moisture Essence	Pharm/Apotheke	ammonium liquid, democalmin
La Myrell Contour & Liposomes Repair Gel Konzakta	Kao Sofina Cosmetic (Parfumerien Dr. Lenartz GmbH)	Aloe vera extract, rose water, soya phospholipid
Liposome Aktions Gel	Cosmetics Margot Zimmer GmbH	proteoglycan
Liposome Skin Vital Complex	Madame Nanette Biocosmetic	thymus extract, hyaluronic acid, vitamin E
Micro 2000 Complex	Shulton (American Cyanamid)	glycolipid PSL, Sphingolipid E
Anti-Stress Saneo 2 Liposome Ampule	Elizabeth Arden	hydroospheres
Sympathik 2000	Gabriel Wyeth Kosmetik	fibrostimulus
Lioser TMH-Ampulle	Biofarm GmbH	thymus extract, vitamin A palmitate, soya phospholipid
Natipide II	Geymonat Gerhard Klapp	chestnut extract, hyalur. acid
Eye Perfector	Nattermann PL	mucopolysaccharide, hyaluronic acid, liposome
	Avon, NY	Liposomal gel for do-it-yourself cosmetic
		soothing cream to reduce eye puffiness

Etoszómák:

Lipid (szója foszfatidilkolin) – víz – etanol keverékéből létrehozott 2-3 rétegű lipidpreparátum. Mélyebben hatol be a bőrbe, mint a liposzóma. Elsősorban a szisztémásan ható gyógyszerek transzdermális bevitelében használatosak.



2. Nyálkahártyák (pl. száj, orr)

Könnyen átjárhatók a gyógyszerek számára
→ rövid ideig tartó helyi hatás,
kifejezettedebb szisztemás hatás
Liposzómában hosszabb helyi és kisebb
szisztemás hatás érhető el (pl. fekélyek
kezelése)



3. Szem

Könnyen átjárhatók a gyógyszerek számára → rövid ideig tartó helyi hatás, kifejezettedebb szisztemás hatás

Hagyományos gyógyszerek:

- csekély penetráció a szembe
- rövid hatástartam

Speciális molekulákat tartalmazó liposzómák a szem bizonyos részeihez nagyobb affinitással kötődnek.

Pl. cornea – gangliozid-tartalmú

lencse – ConA tartalmú

Főleg a nagy MLV-k alkalmazásakor nő a hatóanyag koncentráció a csarnokvízben és a szem egyes részeiben.

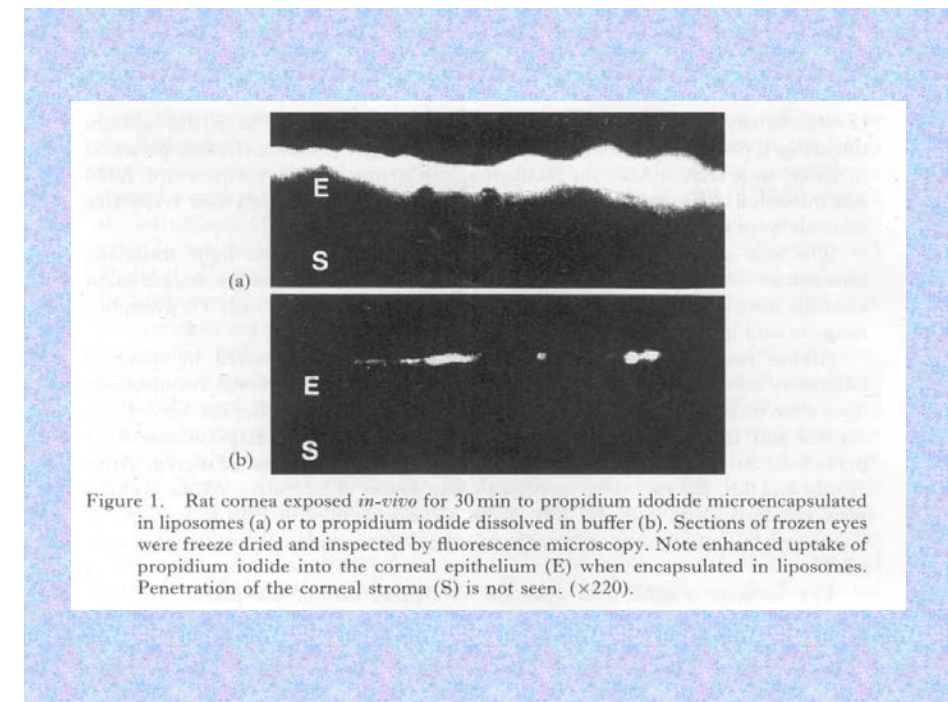


Figure 1. Rat cornea exposed *in-vivo* for 30 min to propidium iodide microencapsulated in liposomes (a) or to propidium iodide dissolved in buffer (b). Sections of frozen eyes were freeze dried and inspected by fluorescence microscopy. Note enhanced uptake of propidium iodide into the corneal epithelium (E) when encapsulated in liposomes. Penetration of the corneal stroma (S) is not seen. ($\times 220$).

Vírusfertőzések (herpesz, citomegalovírus) kezelésére alkalmaznak oligonukleotidokat. A liposzómák megvédi ezeket a bontóenzimek hatásától és megnöveli az üvegtestben való tartózkodásuk idejét az üvegtestbe történő injekciózás esetén.

Corneahoz kötődés erőssége szerinti sorrend: pozitív > negatív > semleges. Ez elektrosztatikus kölcsönhatásra utal.

A kötődés a kettősrétegek számától is függ:

$MLV^+ > SUV^+ > MLV^- > SUV^- > MLV, SUV$

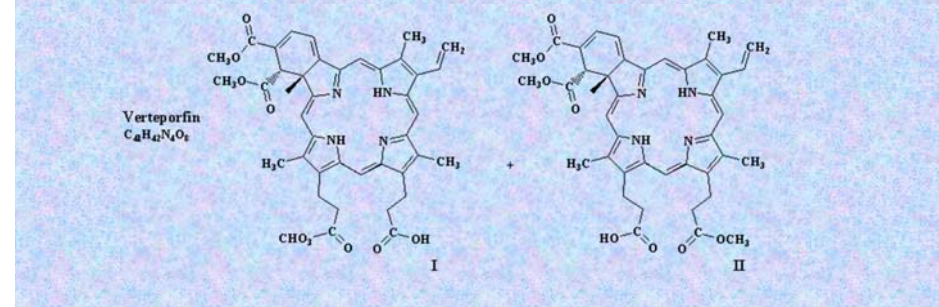
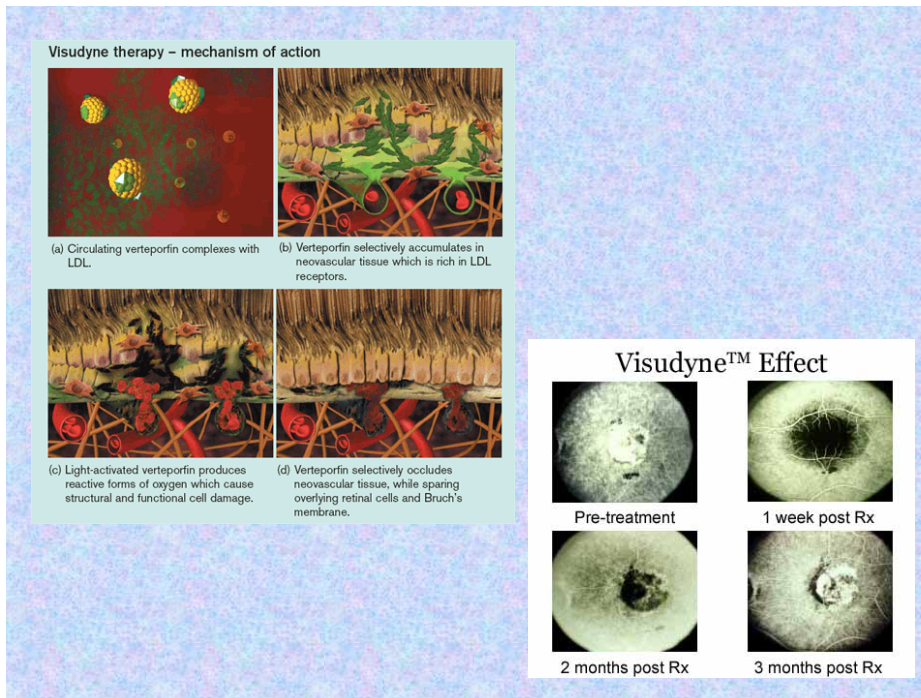
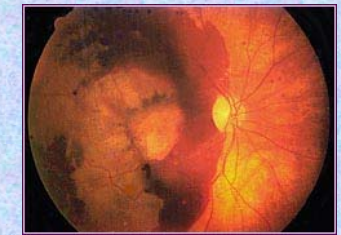
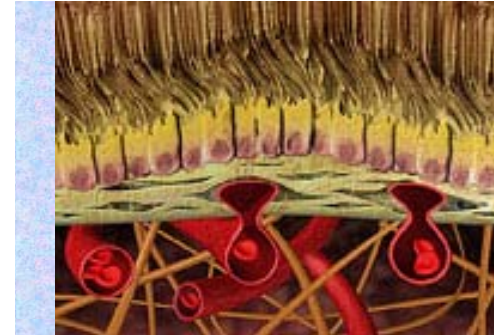
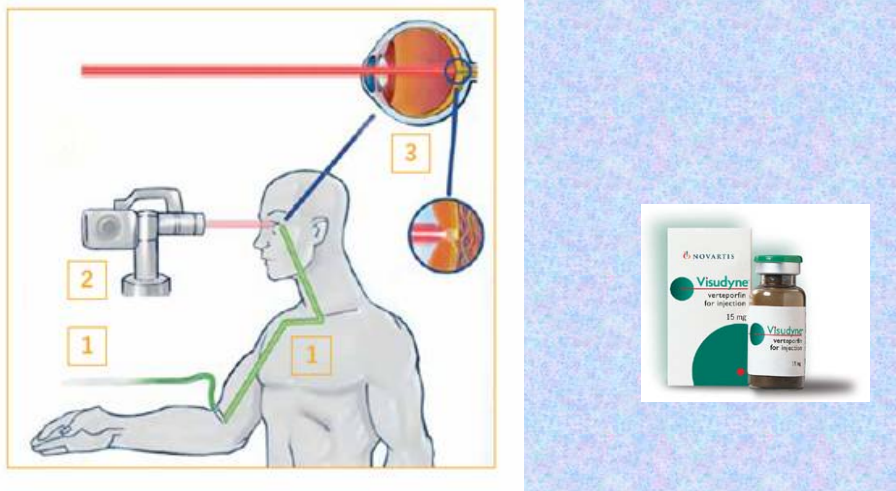
Acetazolamid bezárási hatásfoka és a kiszabadult hatóanyag aránya:

	Semleges	Negatív	Pozitív
Bezáras hatásfoka	41,06 %	29,27 %	49,58 %
Kiszabadult hatóanyag aránya 9 óra elteltével	33,8 %	13,36 %	26,7 %



Fig. 1. Photographs showing gradual stages of healing and disappearance of *Candida* keratitis treated with: (A) fluconazole solution (first group), (B) and (C) fluconazole-loaded liposome in a rabbit (second group). (1) Before treatment. (2) One week after treatment. (3) Two weeks after treatment. (4) Three weeks after treatment.

- Időskori macula elfajulás (age-related macular degeneration - AMD) kezelése liposzómás porfirinszármazék (Visudyne) és lézerkezelés kombinációjával. (fotodinámiás terápia (PDT))



4. Tüdő és légutak

Bevitel porlasztás és inhaláció során.

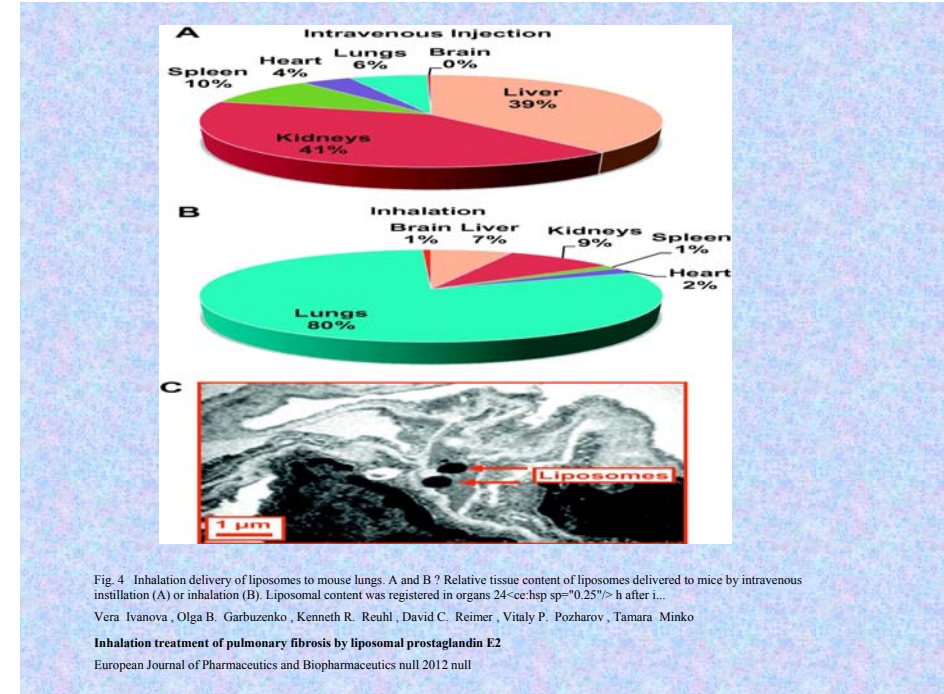
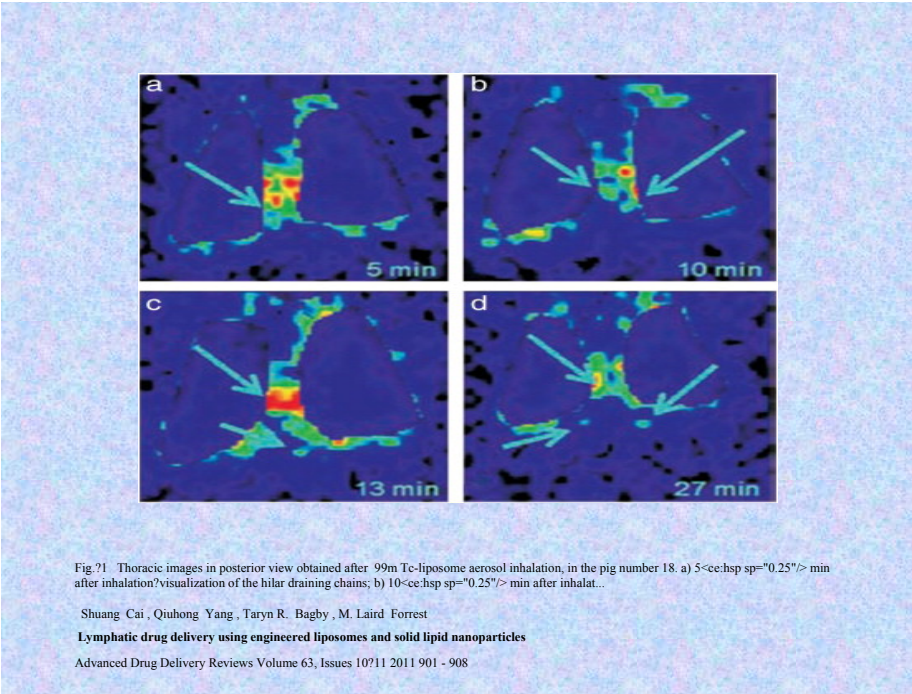
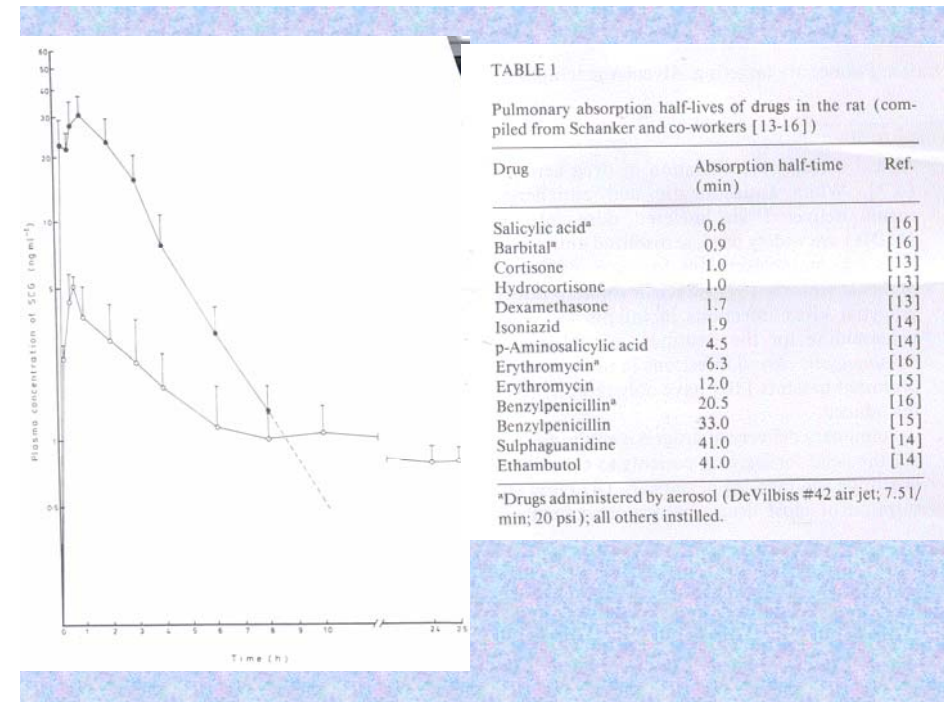
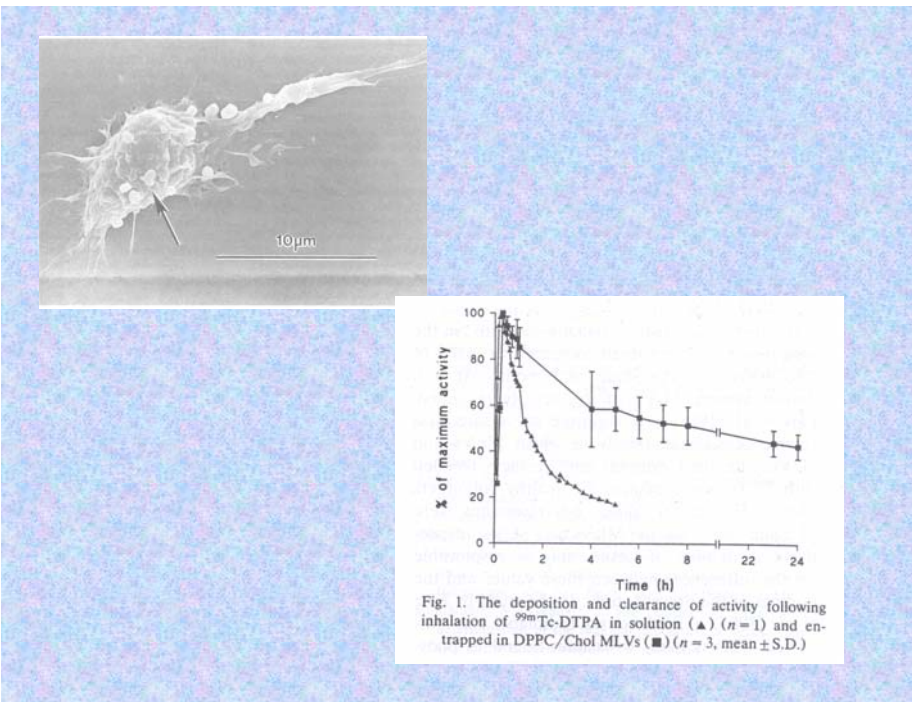
A tüdő felületaktív anyagához hasonló összetételű liposzómák a legjobban alkalmazhatók (főleg DPPC és PG)

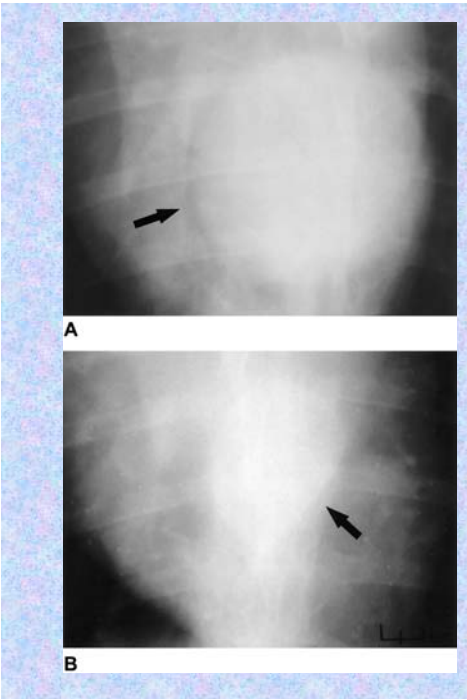
A bejutás hatásfoka és mélysége főleg az aeroszol részecskeméretétől függ, nem a liposzómától.

A porlasztás során a bezárt anyag egy része elvész. Ennek aránya függ a liposzóma összetételétől. Kisebb liposzóma méret ill. kisebb porlasztási sebesség esetén csökken a veszeség.

A liposzómás gyógyszerbevitel előnyei:

- Megelőzi a helyi irritációt és a tüdőbeli toxikus hatást
- Meghosszabbítja a terápiás gyógyszerkoncentráció fennállási idejét
- Nagy intracelluláris gyógyszerkoncentrációt idéz elő





tüdőtumor kezelés előtt

2 hét inhalációs doxil kezelés után